

# 1 Погрешность обнаружения разладки

Будем выбирать последовательно из всей выборки отрезки  $[tnh, (t+1)nh]$ , которые назовем *окнами*. Параметр  $h$  определяет ширину окна, а  $t$  – порядковый номер. Пусть  $\|\theta_2^* - \theta_1^*\|$  увеличивается линейно при приближении середины окна к точке разладки. Тогда  $2\Delta L$  с увеличением  $\|\theta_2^* - \theta_1^*\|$  возрастает квадратично. Будем искать выступ в виде двух парабол на графике  $2\Delta L(t)$  методом наименьших квадратов. График  $(2\Delta L(t) - p)$  в точках  $t$  где окно содержит точку разладки, имеет вид

$$f(x) = b^2(|x - s| - nh/2)^2,$$

где  $s$  – координата точки разладки,  $b^2 = 4\|\Sigma(\theta_2^* - \theta_1^*)\|^2/(nh)^2$ . Хотим минимизировать функционал

$$\sum_i [b^2(|x_i - s| - nh/2)^2 - d_i]^2 \rightarrow \min_s.$$

Приравняем производную по  $s$  к нулю

$$\sum_i [b^2(|x_i - s| - nh/2)^2 - d_i] (|x_i - s| - nh/2) \tau_i = 0,$$

$$\tau_i = \begin{cases} -1, & s < x_i \\ 1, & s > x_i \\ [-1, 1], & s = x_i, \end{cases}$$

$$d_i = 2\Delta L(i) - p.$$

$$\sum_i [b^2(s - x_i)^3 + 3b^2(x_i - s)|x_i - s|(nh/2) + 3b^2(nh/2)^2(s - x_i) - d_i(s - x_i) - \tau_i b^2(nh/2)^3 + d_i(nh/2)\tau_i] = 0,$$

Выберем начало координат так, чтобы выполнялись равенства  $\sum_i x_i^{2k+1} = 0$ ,  $\forall k \geq 0$ . Пусть  $x_i \in \{-nh/2, \dots, nh/2\}$ ,  $s \ll nh$ , тогда

$$2sb^2(nh/2)^3 - 3sb^2(nh/2)^3 + 6sb^2(nh/2)^3 - s \sum_i d_i - sb^2(nh/2)^3 = - \sum_i d_i(x_i + (nh/2)\tau_i).$$

Заменим  $\sum_i d_i$  на  $2/3b^2(nh/2)^3$

$$s \approx \frac{- \sum_i d_i(x_i + (nh/2)\tau_i)}{3.3b^2(nh/2)^3} \approx \frac{\sum_i d_i x_i}{3.3b^2(nh/2)^3} = \frac{\sum_i d_i x_i}{3.3\|\Sigma(\theta_2^* - \theta_1^*)\|^2(nh/2)}.$$

Оценим экспериментально дисперсию  $\sum_i d_i x_i$ , состоящую из дисперсии  $\sum_i 2\Delta\xi_{12}^T \Delta\theta_{12}^* x_i$  и дисперсии  $\sum_i 2\Delta\xi_{12}^T \Delta\theta_{12}^* x_i$  и дисперсии  $\sum_i \Delta\xi_{12}^2 x_i$ .

$$\mathbb{D} \left\{ \sum_i 2\Delta\xi_{12}^T \Delta\theta_{12}^* x_i \right\} = c_1(p) \|\theta_{12}^*\|^2 (nh)^4, \quad c_1(p) \sim (\log p)^2 / e^5.$$

$$\mathbb{D} \left\{ \sum_i \Delta\xi_{12}^2 x_i \right\} = c_2(p) (nh)^4, \quad c_2(p) \sim p/30.$$

Аналогичный результат может быть получен из теоретических соображений, исходя из вида корреляционной функции для процесса  $\Delta\xi_{12}(t)$ .

**Замечание.** Начиная с некоторого  $h_0$ , обеспечивающем хорошую точность приближения Лапласа для функции правдоподобия, погрешность определения  $s$  (точка разладки) начинает возрастать как  $\sqrt{nh}$ .

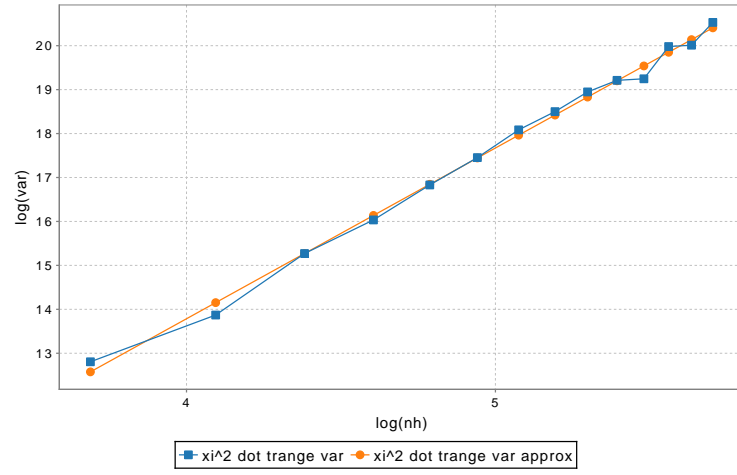


Рис. 1: Дисперсия  $\sum_i \Delta \xi_{12}^2 x_i$  в зависимости от  $(nh)$  в логарифмических осях.

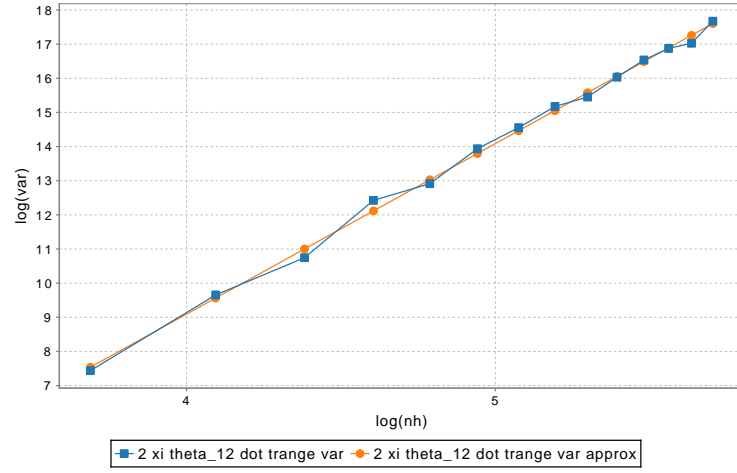


Рис. 2: Дисперсия  $\sum_i 2\Delta \xi_{12}^T \Delta \theta_{12}^* x_i$  в зависимости от  $(nh)$  в логарифмических осях.

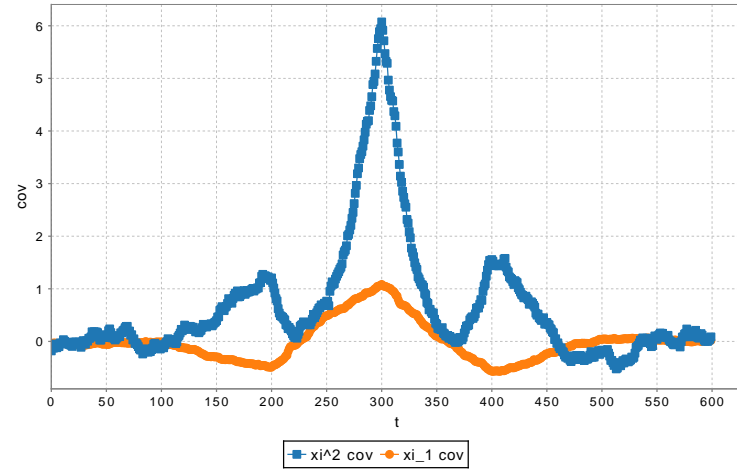


Рис. 3: Корреляция  $\Delta \xi_{12}(t)^2$  и  $\Delta \xi_{12}(t)(1)$ .

## 2 Пример

$$Y_i = X\theta + \varepsilon_i.$$

Приведены графики статистик при различных величинах разности параметра  $\theta$ , взятых до и после разладки

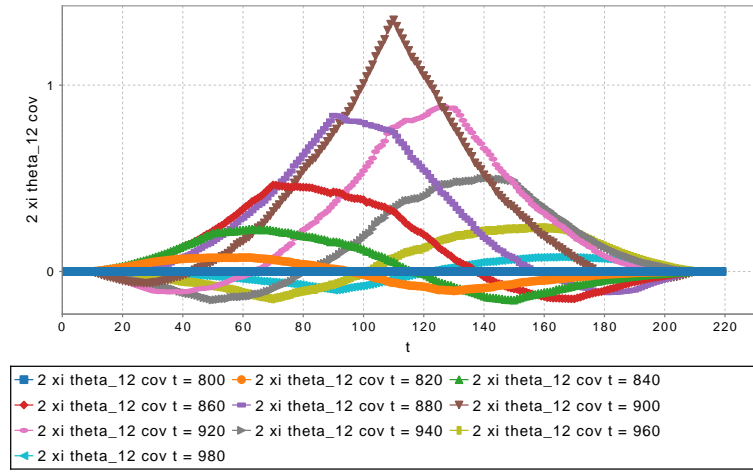


Рис. 4: Корреляция  $2\Delta\xi_{12}(t)^T\Delta\theta_{12}^*$ .

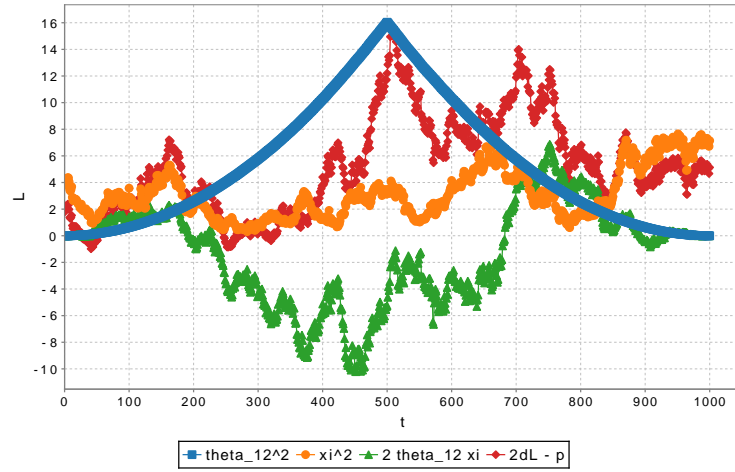


Рис. 5: Вид статистик  $2\Delta L(t)$ ,  $\Delta\xi_{12}(t)^2$ ,  $2\Delta\xi_{12}(t)^T\Delta\theta_{12}^*(t)$  и  $\Delta\theta_{12}^{*2}(t)$ .

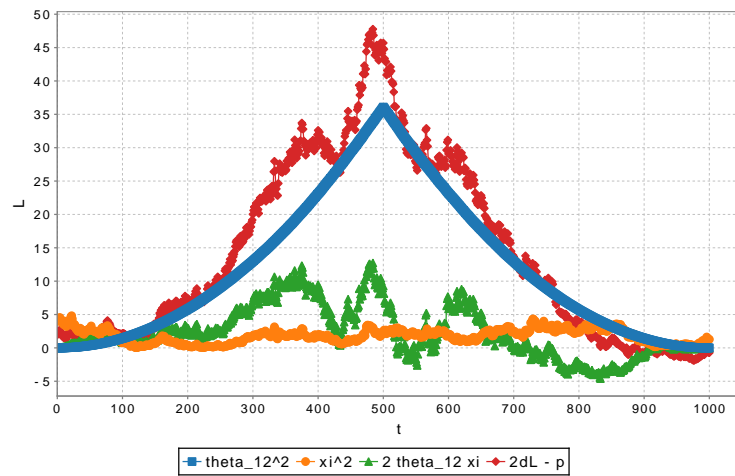


Рис. 6: Вид статистик  $2\Delta L(t)$ ,  $\Delta\xi_{12}(t)^2$ ,  $2\Delta\xi_{12}(t)^T\Delta\theta_{12}^*(t)$  и  $\Delta\theta_{12}^{*2}(t)$ .

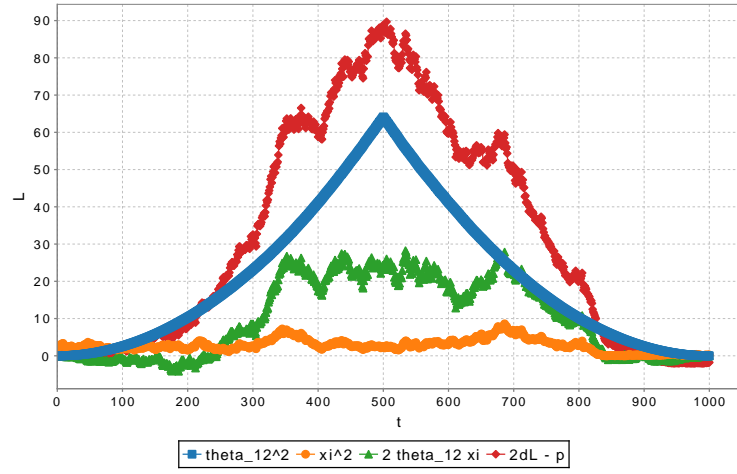


Рис. 7: Вид статистик  $2\Delta L(t)$ ,  $\Delta\xi_{12}(t)^2$ ,  $2\Delta\xi_{12}(t)^T\Delta\theta_{12}^*(t)$  и  $\Delta\theta_{12}^{*2}(t)$ .

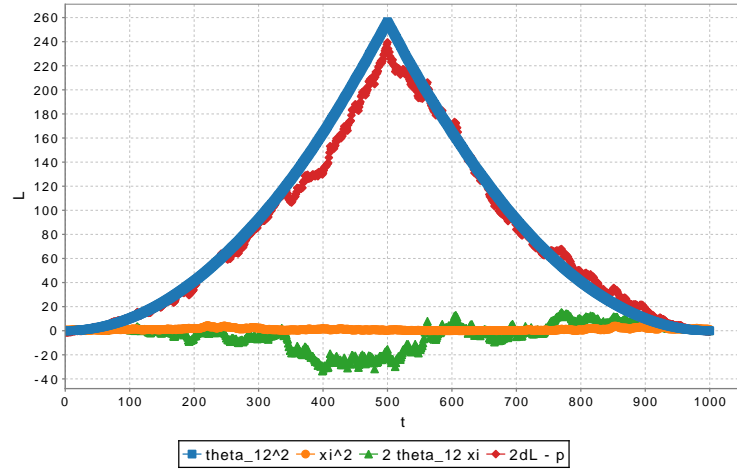


Рис. 8: Вид статистик  $2\Delta L(t)$ ,  $\Delta\xi_{12}(t)^2$ ,  $2\Delta\xi_{12}(t)^T\Delta\theta_{12}^*(t)$  и  $\Delta\theta_{12}^{*2}(t)$ .